

制御理論講話 (その10) —ロバスト制御の応用—

A Lecture on Control Theory (Part 10)
—Applications of Robust Control—

渡利 久規, 山崎 敬則, 山川 雄司*, 黒須 茂**
Hisaki WATARI, Takanori YAMAZAKI, Yuji YAMAKAWA*, Shigeru KUROSU**

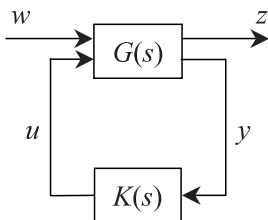
本稿では, 制御理論講話 (その9) の補足として1次系について再び考察し, より H_∞ 制御を理解することを目的としてまとめている. まず, 復習を兼ねて, H_∞ 制御の概要と解法について論じる. つぎに, 1次系を例にして, より理解を深めることにする.

1. H_∞ 制御理論

1.1 H_∞ 制御

H_∞ 制御とは, 入力から出力までの伝達関数のゲインの最大値 (すなわち, H_∞ ノルム) をある値 γ 以下にするとということである.

H_∞ 制御の解法には, 多くの方法が提案されているが, 本稿では, DoyleらによるDGKF法³⁾を採用する.



$G(s)$: 一般化プラント, $K(s)$: H_∞ 補償器

Fig. 1 H_∞ 制御

1.2 H_∞ 制御問題

定義された外乱 w と制御量 z との間の閉ループ伝達関数 $G_{zw}(s)$ に対して

$$\|G_{zw}\|_\infty < \gamma \quad (1)$$

とし, かつFig.1の閉ループ系を安定にする制御器 $K(s)$ (H_∞ 補償器という) を求める問題である. H_∞ 制御問題を解くために, まず, 一般化プラントを求めておかなければならない.

1.2.1 一般化プラント

現代制御では, 状態方程式と出力方程式で議論していたが, ロバスト制御ではモデル化誤差 (または重み関数) なども含めて, プラントの拡大系として, H_∞ 制御では一般化プラントというものを定義する.

$$\left. \begin{aligned} \dot{x} &= Ax + B_1w + B_2u \\ z &= C_1x + D_{11}w + D_{12}u \\ y &= C_2x + D_{21}w + D_{22}u \end{aligned} \right\} \quad (2)$$

ここで, x は状態量, z は制御量, w は外部入力, u は操作量, y は出力である.

1.2.2 H_∞ 制御問題の解法

解法には, さまざまな提案がなされている. 最初に一般解が与えられたのは, 1988年のGlover, Doyleの論文である. この論文では, 3つのRiccati方程式を解くことによって H_∞ 制御問題を解いている. 翌年, 1989年にはDoyle, Glover, Khargonekar,

*) 平成14年度機械工学科卒業(東京大学大学院在学中)

**) 研究所 "Crotech"

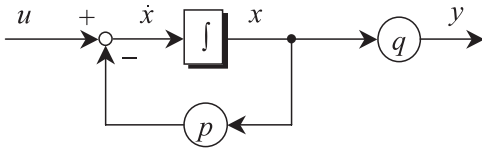


Fig. 2 状態線図

Francisらによって2つのRiccati方程式を解くことで H_∞ 制御問題の解を与えた. 最近の研究では, LMI (線形行列不等式) やBMI (双線形行列不等式) による解法も提案されている. 本稿では, 1989年のDoyleらの論文よりDGKF法とよばれる解法を用いることにする.

2. 例題

例題から, H_∞ 制御の解法を理解しよう.

1次系 (ノミナルプラント)

つぎのプラントに対して, コントローラ的设计を行う.

$$P_0(s) = \frac{K}{Ts+1} \quad (\text{ここで, } K=1, T=10[\text{min}])$$

プラントの分母・分子を T で割り, つぎの式に書き直す.

$$P_0(s) = \frac{K/T}{s+1/T} = \frac{q}{s+p}$$

ここで, $p=1/T(0.1)$, $q=K/T(0.1)$

プラントを状態方程式と出力方程式で表わすと,

$$\left. \begin{aligned} \dot{x} &= -px + u \\ y &= qx \end{aligned} \right\}$$

となり, 状態線図はFig. 2のようになる. ここで, x : 状態量, y : 出力である.

さらに, 各入出力に重みを考え, H_∞ 制御系を構成するとFig.3となり, 一般化プラントはつぎのように定義される.

$$\begin{bmatrix} \dot{x} \\ z_u \\ z_1 \\ z_y \\ y \end{bmatrix} = \begin{bmatrix} -p & b_1 & 0 & 1 \\ 0 & 0 & 0 & 1 \\ c_1 & 0 & 0 & 0 \\ c_y q & 0 & 0 & 0 \\ -q & 0 & b_r & 0 \end{bmatrix} \begin{bmatrix} x \\ w_1 \\ r \\ u \end{bmatrix} \quad (3)$$

ここで, x : 状態量, z_u : 制御量 (制御入力), z_1 :

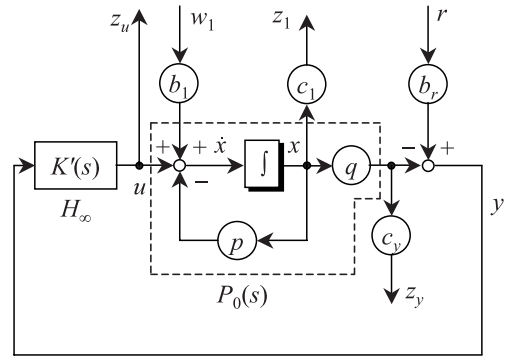


Fig. 3 H_∞ 制御系

制御量, z_y : 制御量 (出力), y : 観測量, w_1 : 外乱, r : 目標値, u : 制御入力である.

八つあん 「操作量に該当する u に制御量 z_u を割り当てているよ. なにか理由があるんでしょう?」

ご隠居 「DGKF法の前提条件に

$$D_{12}^T D_{12} = I$$

がある. この条件を満たすために, $D_{12} = [1 \ 0 \ 0]^T$ しなければならない. そのため, 制御量 z_u と制御入力 u を考えたのだ」

DGKF法の条件を満足するかを確認する必要がある. 実際に計算すると,

$$\begin{aligned} D_{12}^T C_1 &= B_1 D_{21}^T = 0, D_{12} D_{12}^T = I \\ D_{11} &= 0, D_{22} = 0 \end{aligned}$$

となり, これらの条件は満足しているが,

$$D_{21} D_{21}^T = (0 \ b_r)(0 \ b_r)^T = b_r^2$$

となり, 条件を満たしていないため, DGKF法を用いて H_∞ 制御問題を解くことができない場合が存在する. すなわち,

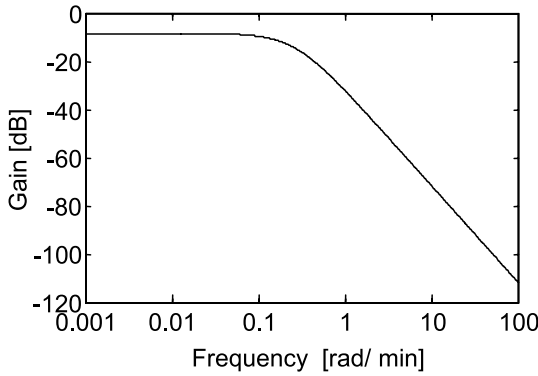
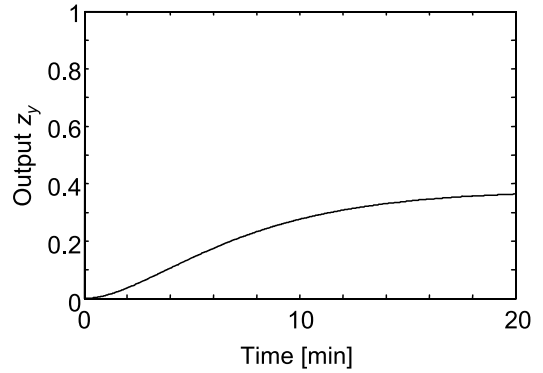
$$\|G_{zw}\|_\infty < \gamma$$

を満たさない補償器を設計してしまうことがある. しかし, この問題の場合には, 目標値に対する重み b_r を1とすることによって, DGKF法の条件を満足することができる.

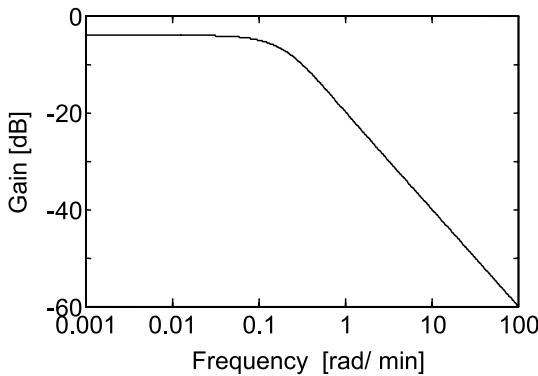
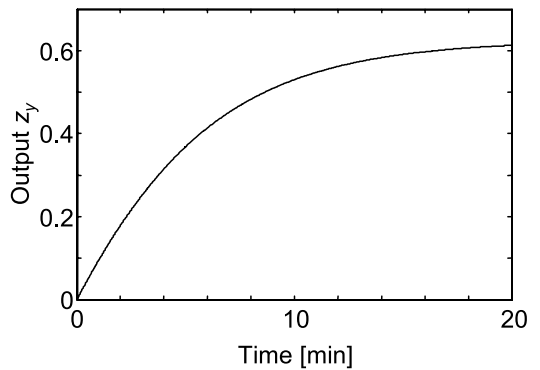
重みをつぎのように与えた.

$$b_1=1, b_r=1, c_1=0, c_y=1, \gamma=0.75$$

このように, 入力・出力に対する重みを1として, γ を最小化する問題, すなわち H_∞ ノルムを最小

(a) z_y/r のボード線図

(c) 目標値応答（ステップ応答）

(b) z_y/w_1 のボード線図

(d) 外乱応答（ステップ応答）

Fig. 4 制御性能

にする制御則を求める問題を H_∞ 最適制御問題と呼んでいる。このときに設計された補償器の伝達関数はつぎのようである。

$$X=0.0680$$

$$Y=6.7962$$

$$K(s) = \frac{0.2582}{s + 0.4271}$$

目標値応答，外乱応答，ボード線図をFig.4に示す。

八つあん「 $\gamma=0.75$ とすれば，目標値ならびに外乱から出力（ z_y ）へのボード線図の定常ゲインが0dB以下になって，オフセットがでるのは，当然でしょう？ $\gamma=1000$ にしたらどうなるの？」

ご隠居「これについては，あとで表にまとめるから待ってくれ！」

制御系がI型でないため，これらの応答を見てわかるように，オフセットを生じていることがわかる。また，外乱については，入力1に対して，最大出力が約0.6という点から，ほとんど外乱抑制の効果が見られない。

八つあん「 b_r は1でないとダメなんですか？」

ご隠居「そうだ。 b_r を大きくしていくと，すべての伝達関数を γ 未満に抑えることができない」

八つあん「ご隠居，具体的に説明してもらえませんか」

ご隠居「 b_r は設計パラメータに関わらないので，どれだけ変化させても補償器の伝達関数は変化しない。しかし，一般化プラントにおける目標値 r から偏差に対応する y までの伝達関数は，

$$\frac{y}{r} = b_r \frac{1}{1 + PK}$$

で与えられる. 通常, b_r を変化させれば, それに対応して補償器の伝達関数は

$$\max\left(\frac{y}{r}\right) = \max\left(b_r \frac{1}{1+PK}\right) < \gamma$$

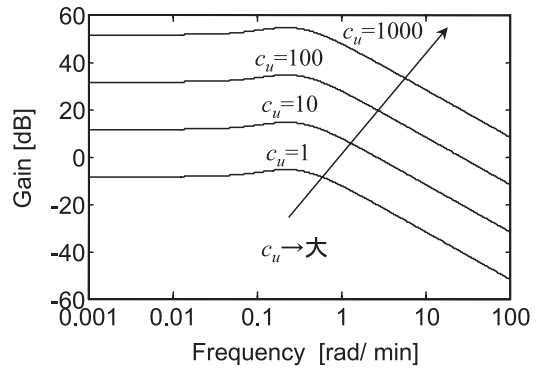
を満たすように変化するはずである. しかし, 今回の場合には, b_r を大きくしても, 補償器の伝達関数が変化しないため, b_r を大きくしていくとゲインが $20\log_{10}b_r$ で増加し, γ 未満にできない. このように, DGKF法の条件を満足しないときは, H_∞ 制御問題を解いていないのだ. したがって, Fig.3における一般化プラントを用いて H_∞ 補償器を設計するためには, b_r を1にしなければならない」

八つあん 「ご隠居. $b_r=1$ を変化させても, H_∞ 補償器が変化しなければ, 目標値応答を改善することができないということですか?」

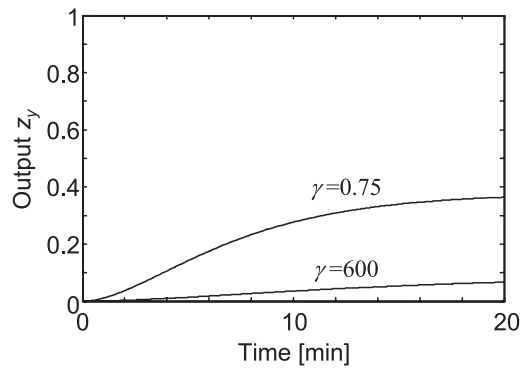
ご隠居 「そうだ. だから, 今回は目標値追従特性は無視して H_∞ 補償器を設計しているのだ. しかし, 外乱に対する重み b_1 や c_y を変化させれば, H_∞ 補償器が変化するから, 改善することは可能だ. でも, 目標値応答を重要視して設計したい場合には, どうすることもできないのだ. したがって, また一般化プラントを再定義しなおして, 何とか B_1 , B_2 , C_1 , C_2 の中に b_r に関わるようにしなければならないのだ. その一例を示したのが, 制御理論講話(その9)で示した積分器を一般化プラントに付加することだったりするのだ. また, 目標値 r から出力 z_y への伝達関数を考えた場合, 定常ゲインを1(0dB)にしなければならない. したがって, H_∞ ノルムを γ 未満にするという H_∞ 制御問題に不向きである. そのため, 偏差から出力への伝達関数を小さくする問題や目標値から偏差への伝達関数を小さくする問題に帰着させるような工夫が必要となるのだ」

八つあん 「ご隠居, 操作量 u に制御量 z_u を割り当てた理由も, ただ単に $z_u = u$ において, DGKF法の条件を満足させているだけではなく, $z_u = c_u u$ として, その重み c_u を1にしているという意味なんですね?」

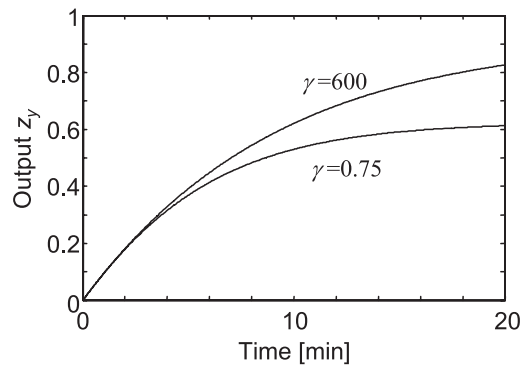
ご隠居 「そういうことじゃ. もちろん D_{11} , D_{12} ,



(a) c_u を変化させたときの z_u / r のボード線図



(b) 目標値応答



(c) 外乱応答

Fig. 5 制御性能

D_{21} , D_{22} はRiccati方程式に関係してないから, 得られる補償器の伝達関数には変わりはない. ところが, c_u を増加させたときに, $r \rightarrow z_u$ のゲイン線図を画くと, Fig.5(a)のようになる. Fig.5(a)を見ると, c_u を1以上にすると, $\gamma=0.75$ を満足してな

いことがわかる. そこで, γ を大きくして, $c_u = 1000$ に対して $\gamma = 600$ として設計すると, 補償器の伝達関数はつぎのようになる.

$$K(s) = \frac{0.0172}{s + 0.183}$$

このときの目標値応答と外乱応答を示したのが, Fig. 5(b), (c) である. これより, 操作量 u を重要視すると, 途端に応答が悪化するのじゃ

八つあん 「 $b_r = 1$, $c_u = 1$ というのはわかったのですが, $b_r = 1000$, $c_u = 1000$ とすれば, DGKF法の条件

$$D_{21}D_{21}^T = I, \quad D_{12}^TD_{12} = I$$

を満足しないから, 一般化プラントから再定義しなければなりませんか?」

ご隠居 「なんど同じことを聞くのじゃ. 一般化プラントを再定義してもよいが, 今回の一般化プラントの場合には, 重みを調整することによって, DGKF法の条件を満足することができるから, 一般化プラントを再定義しなくてもよいのだ」

2.1 Riccati解と補償器の伝達関数

つぎに, b_1 , c_y と γ を変化させたときのRiccati解と補償器の伝達関数をTable 1に示す. 今回, 制御量 z_1 に対する重み c_1 は0とした. つまり, c_y によって z_y を見ているから, z_1 は無視してもよいと考えている.

Table 1を見てわかるように, b_1 や c_y を単独に同じ割合で増加させたとき, フィードバックゲイン X やオブザーバゲイン Y の値は変わるが, 補償器の伝達関数は(b)と(c)との対応した項目において全く変わらない. また, b_1 を増加させたとき, フィードバックゲイン X はほとんど変化がなく, オブザーバゲイン Y が増加している. 一方, c_y を増加させたとき, オブザーバゲイン Y はほとんど変化がなく, フィードバックゲイン X が増加している. さらに, 両方を増加させたとき, フィードバックゲインとオブザーバゲインは重みを単独で増加させたときと同じ割合で増加している. そして, 補償器のゲインが増加していくこともわかる.

以上の結果より, ある重み1つだけを大きくす

るよりも, 複数の重みを調整することによって, 補償器の設計を行う方が効果的であることがわかる.

熊さん 「ご隠居! 計算結果だけ見せられても困りますよ. 今回の場合はスカラーで計算できるんですから, 数式で示してくださいよ」

ご隠居 「わかったよ. まず, はじめに $B_1B_1^T$, $B_2B_2^T$, $C_1^TC_1$, $C_2^TC_2$ を計算してしまおう. 一般化プラントをベクトル・行列で示したのが, 式(3)だから, B_1 , B_2 , C_1 , C_2 は次式で与えられる.

$$B_1 = [b_1 \quad 0], \quad B_2 = [1]$$

$$C_1 = [0 \quad c_1 \quad c_y q]^T, \quad C_2 = [-q]$$

これらを用いて計算すると,

$$B_1B_1^T = b_1^2, \quad B_2B_2^T = 1$$

$$C_1^TC_1 = c_1^2 + c_y^2 q^2, \quad C_2^TC_2 = q^2$$

であるから, これらをRiccati方程式に代入すると, つぎのようになる.

$$\begin{cases} -pX - Xp + X(\gamma^{-2}b_1^2 - 1)X + (c_1^2 + c_y^2 q^2) = 0 \\ -pY - Yp + Y(\gamma^{-2}(c_1^2 + c_y^2 q^2) - q^2)Y + b_1^2 = 0 \end{cases}$$

$$\begin{cases} X^2(\gamma^{-2}b_1^2 - 1) - 2pX + (c_1^2 + c_y^2 q^2) = 0 \\ Y^2(\gamma^{-2}(c_1^2 + c_y^2 q^2) - q^2) - 2pY + b_1^2 = 0 \end{cases}$$

さらに, 2次方程式を解くと, つぎのようにRiccati解は与えられる.

$$X = \frac{2p \pm \sqrt{4p^2 - 4(\gamma^{-2}b_1^2 - 1)(c_1^2 + c_y^2 q^2)}}{2(\gamma^{-2}b_1^2 - 1)}$$

$$Y = \frac{2p \pm \sqrt{4p^2 - 4(\gamma^{-2}(c_1^2 + c_y^2 q^2) - q^2)b_1^2}}{2(\gamma^{-2}(c_1^2 + c_y^2 q^2) - q^2)}$$

さらに簡単にすると,

$$X = \frac{p \pm \sqrt{p^2 - (\gamma^{-2}b_1^2 - 1)(c_1^2 + c_y^2 q^2)}}{(\gamma^{-2}b_1^2 - 1)}$$

$$Y = \frac{p \pm \sqrt{p^2 - (\gamma^{-2}(c_1^2 + c_y^2 q^2) - q^2)b_1^2}}{(\gamma^{-2}(c_1^2 + c_y^2 q^2) - q^2)}$$

b_1	1	1	1	1	1	1
c_y	1	1	1	1	1	1
γ	0.75	1	2	3	4	5
X	0.0680	0.05	0.0431	0.0421	0.0418	0.0417
Y	6.7962	5.0	4.305	4.2116	4.1807	4.1667
H_∞ 補償器の 伝達関数	$\frac{0.2582}{s+0.4271}$	$\frac{0.03333}{s+0.1667}$	$\frac{0.01943}{s+0.1774}$	$\frac{0.01809}{s+0.1804}$	$\frac{0.01767}{s+0.1815}$	$\frac{0.01748}{s+0.182}$

(a) γ を変化させたとき

b_1	1	10	100	1000
c_y	1	1	1	1
γ	1000	1000	1000	1000
X	0.0414	0.0414	0.0415	0.05
Y	4.14	90.5	990.05	9990
H_∞ 補償器の 伝達関数	$\frac{0.0172}{s+0.183}$	$\frac{0.375}{s+1.05}$	$\frac{4.107}{s+10.04}$	$\frac{49.98}{s+100.1}$

(b) b_1 を変化させたとき

b_1	1	1	1	1
c_y	1	10	100	1000
γ	1000	1000	1000	1000
X	0.0414	0.905	9.9	99.9
Y	4.14	4.14	4.15	5.0
H_∞ 補償器の 伝達関数	$\frac{0.0172}{s+0.183}$	$\frac{0.375}{s+1.05}$	$\frac{4.107}{s+10.04}$	$\frac{49.98}{s+100.1}$

(c) c_y を変化させたとき

b_1	1	10	100	500
c_y	1	10	100	500
γ	1000	1000	1000	1000
X	0.0414	0.905	9.95	57.6018
Y	4.14	90.5	994.99	5760.2
H_∞ 補償器の 伝達関数	$\frac{0.0172}{s+0.183}$	$\frac{8.191}{s+1.91}$	$\frac{999.9}{s+20}$	$\frac{49660}{s+129.5}$

(d) b_1, c_y を変化させたときTable 1 重み ($b_1 \cdot c_y$) と γ を変化させたときの X, Y, H_∞ 補償器の伝達関数

のようにRiccati解は計算できるのだ。この数式から、フィードバックゲイン X には、出力に対する重み c_y が大きく依存していることがわかる。一方、オブザーバゲイン Y には、出力に対する重み b_1 が大きく依存していることがわかる。

$b_1=500, c_y=500, \gamma^2=0$ としたときについて計算すると、

$$X=49.9$$

$$Y=4990$$

が得られる。 γ を極端に大きくすると、 $X=57.6, Y=5760$ (Table 1(d)) に比べれば、フィードバックゲインやオブザーバゲインが小さくなることがわかる。

また、Riccati解が存在するためには、ルートの中身が正の値にならなければならない。ゆえに、重みを与えるのにも限界があることがわかるだろう。実際に計算すると、2つのRiccati解からつぎの2つの条件を導くことができる。

フィードバックゲイン X からの可解条件導出

$$p^2 - (\gamma^{-2}b_1^2 - 1)(c_1^2 + c_y^2q^2) > 0$$

$c_1=0$ を考慮すると、

$$p^2 - (\gamma^{-2}b_1^2 - 1)c_y^2q^2 > 0$$

$$\gamma^{-2}b_1^2c_y^2q^2 < p^2 + c_y^2q^2$$

$$\gamma^{-2}b_1^2c_y^2 < 1 + \left(\frac{c_y p}{q}\right)^2$$

さらに、 $p=0.1, q=0.1$ を代入すると、

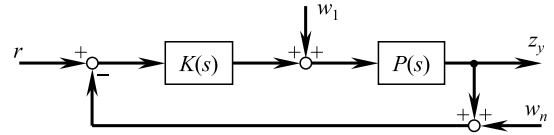
$$\gamma^{-2}b_1^2c_y^2 < 1 + c_y^2$$

オブザーバゲイン Y からの可解条件導出

$$p^2 - (\gamma^{-2}(c_1^2 + c_y^2q^2) - q^2)b_1^2 > 0$$

$c_1=0$ を考慮すると、

$$p^2 - (\gamma^{-2}c_y^2 - 1)b_1^2q^2 > 0$$



w_n : 観測ノイズ

Fig. 6 制御系

$$(\gamma^{-2}c_y^2 - 1)b_1^2 < \frac{p^2}{q^2}$$

さらに、 $p=0.1, q=0.1$ を代入すると、

$$(\gamma^{-2}c_y^2 - 1)b_1^2 < 1$$

これらをまとめると、つぎの2つの条件式はRiccati解が存在するための条件となる。

$$\begin{cases} \gamma^{-2}b_1^2c_y^2 < 1 + c_y^2 \\ \gamma^{-2}b_1^2c_y^2 < 1 + b_1^2 \end{cases}$$

これらの条件を満足しないと、 H_∞ 補償器を導出することができない。事実、 b_1, c_y を1としたとき、 γ の限界値は0.707という結果が得られ、はじめに設計した $\gamma=0.75$ は妥当な結果であったことがわかるだろう。

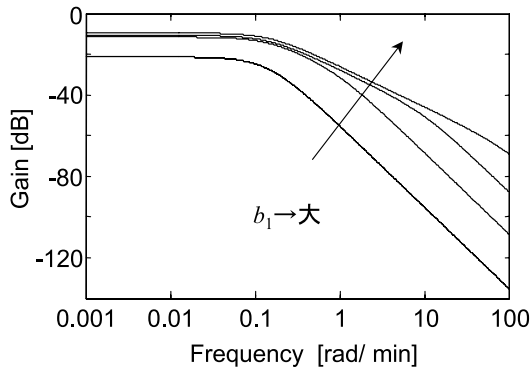
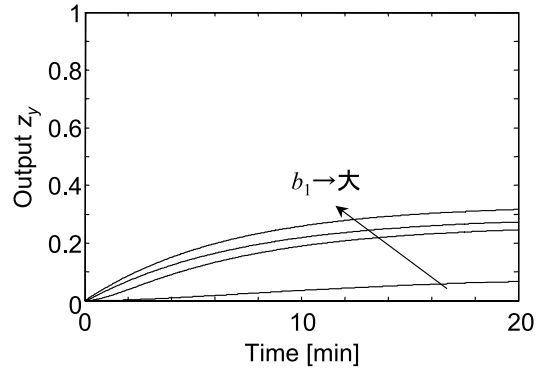
八つあん「 H_∞ 補償器が導出できないとは、どういことが起こるのですか？」

ご隠居「フィードバックゲイン X 、オブザーバゲイン Y が計算できない。すなわち、Riccati解を求めることができないのだ」

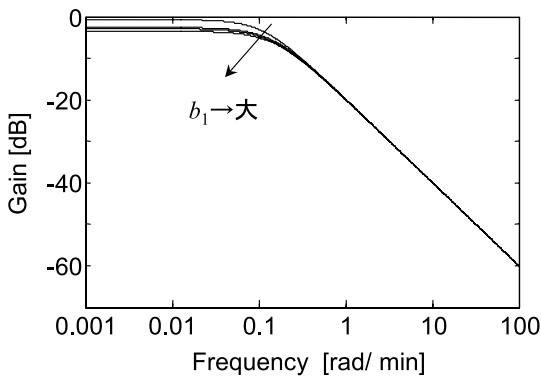
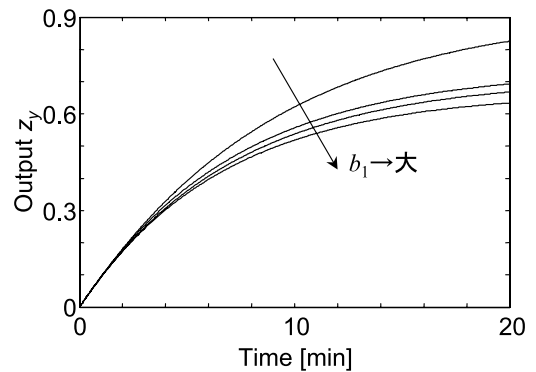
熊さん「ご隠居。可解条件があることはわかりましたが、重みを変化させると、どのように変化していくのか示してくださいよ」

2.2 H_∞ 補償器の制御性能

ご隠居「わかった。Fig.6に示す一般的な制御系において、 b_1 だけを変化させたときの目標値から出力へのボード線図、外乱から出力へのボード線図と目標値応答・外乱応答、また、 b_1 と c_y を変化させたときの目標値から出力へのボード線図と外乱から出力へのボード線図と目標値応答・外乱応答をFig. 7とFig. 8に示すぞ」

(a) b_1 を変化させたときの z_y/r へのボード線図

(c) 目標値応答

(b) b_1 を変化させたときの z_y/w_1 へのボード線図

(d) 外乱応答

Fig. 7 b_1 を変化させたときの制御性能

Fig.7より b_1 のみを大きくしたときのボード線図を見ると、目標値については、あるところから制御性能は改善されていない。また、このボード線図は観測ノイズから出力へのボード線図と等価であるから、観測ノイズの観点から見ると、高周波においてゲインが上昇していることから、制御系がノイズに弱くなっていることがわかる。つぎに、外乱についてのボード線図を見ると、低周波領域におけるゲインが若干であるが減少していることがわかる。高周波領域では全く変化がない。

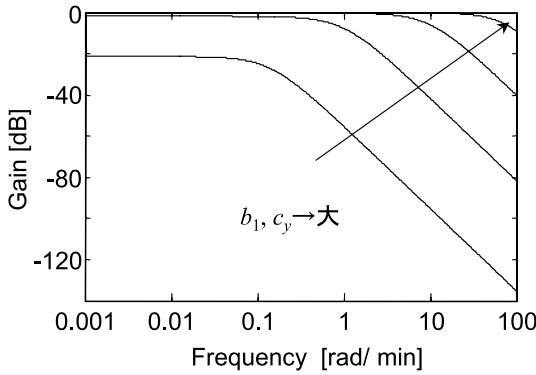
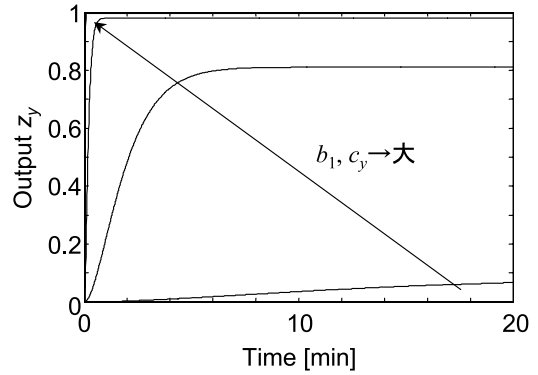
つぎに、Fig. 8より b_1 と c_y を大きくしたときのボード線図を見ると、 b_1 のみを大きくしたときよりも帯域幅が広がっていることから、はるかに制御性能が上昇していることがわかる。しかし、観測ノイズ w_n から出力 z_y への伝達関数が目標値 r

から出力 z_y への伝達関数と同じであるから、それだけ観測ノイズに弱くなっていることもわかる。 H_∞ 補償器を適用したときの制御系は2次系になっている。そのため、ゲインを上昇させると、2次系に見られる共振点が見られるはずである。しかし、 H_∞ 補償器の場合には、共振点を作らないように設計されているように見える。

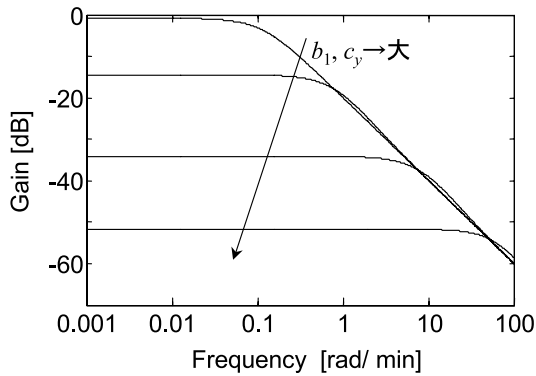
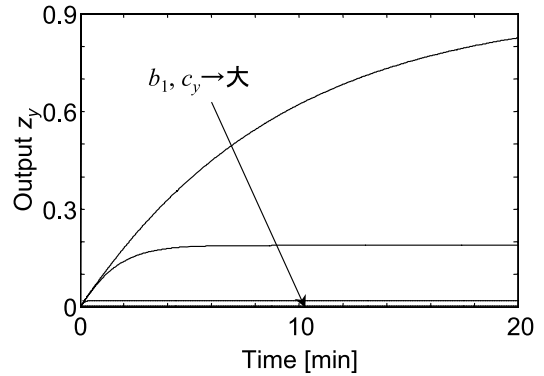
つぎに、外乱についてのボード線図を見ると、 b_1 のみを大きくしたときと同様に、低周波領域において大きくゲインが減少していることがわかる。また、高周波領域では、ほとんど変化がない。

熊さん「ご隠居！重みを大きくしたら、目標値応答や外乱応答が良好になることはわかりましたが、他の周波数特性が悪化したりはしないんですか？」

ご隠居「おお！いい質問じゃな。この問題の場合

(a) b_1 を変化させたときの z_y/r へのボード線図

(c) 目標値応答

(b) b_1 を変化させたときの z_y/w_1 へのボード線図

(d) 外乱応答

Fig. 8 b_1, c_y を変化させたときの制御性能

では、目標値 r から操作量 z_u や外乱 w_1 から操作量 z_u への H_∞ ノルムが増大してしまうのだ (Fig.9). ここでは、目標値 r から操作量 z_u へのボード線図を示すぞ」

熊さん「それはどういう意味ですか？」

ご隠居「これは、大きな操作量が必要だということを意味しているのだよ. したがって、操作量の制限がある場合には、目標値から操作量や外乱から操作量への H_∞ ノルムの評価指標に加えなければならないのだ. 応答を早くするためには、それだけの大きなエネルギーが必要で、当たり前の結果が得られたわけだ. このように、ある伝達関数の H_∞ ノルムを小さくしようとすると、他の伝達関数の H_∞ ノルムが増加してしまうのだ.」

熊さん「結局、操作量を犠牲にしてもいいから、とにかく応答だけはよくしてくれといったら、ど

うすりゃいいんだ？」

ご隠居「そしたら、 $b_1=500, c_y=500$ としてくれ！ そのときの目標値応答、外乱応答、操作量の応答をFig.10に示すぞ. このように、目標値応答・外乱応答ともにすぐに定常状態となり、目標値応答に関しては、オフセットも見られない. しかし、操作量を見ると、最大約300も必要となってしまうのだ」

八つあん「1960年代に最適制御が出現したときも、純慣性系の最短時間制御でBang-bang Controlが使いものにならないということが取り沙汰されました. その後、KalmanがLQ制御、LQI制御なるものを提案し、フィードバック制御が導入されてやっと最適制御は使いものになると認められました. しかし、こうしてご隠居から H_∞ 制御の導入を拝聴したわけですが、理想に近い目標値応

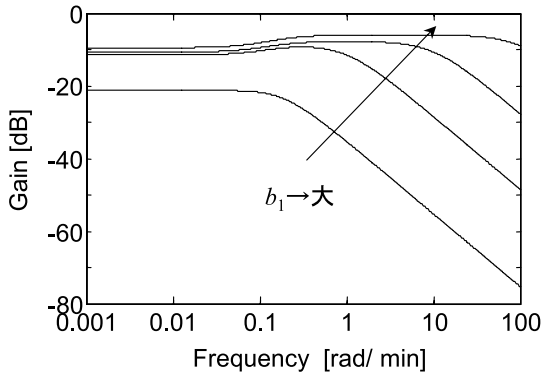
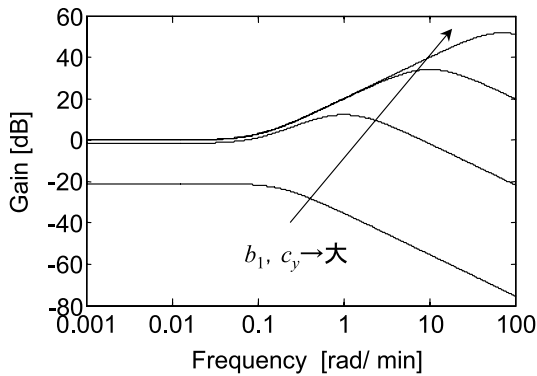
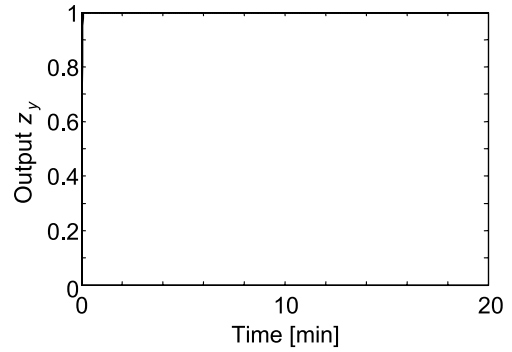
(a) b_1 を変化させたときの z_y/r のボード線図(b) b_1, c_y を変化させたときの z_y/r のボード線図

Fig. 9 目標値から操作量へのゲイン線図

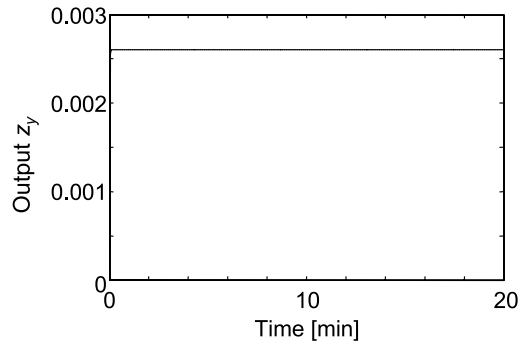
答や外乱応答をするように設計すると、とてつもない操作量が必要となる。当たり前といえば当たり前の結果ですが、だからどうすればいいんですか。新しい制御を導入すれば、新しい視点が与えられなければ意味がないと思うんですがね

熊さん「わしらは温度制御だの、サーボ制御だのいっていますが、結局制御系のことをよく理解してないと思うんですよ。だって、目標値応答とか外乱応答しか思いつかないんだもの。そういう要求では、それなりの答えしか得られないのは当然だと思うよ」

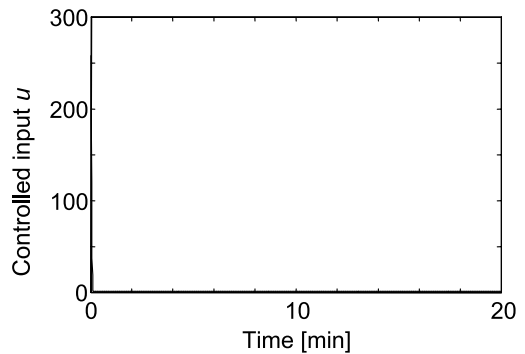
ご隠居「そういうことだ。操作量への規制をどういう形で決めていくかということがわかって、はじめて H_∞ 制御の導入が意味をもってくるんじゃないかね」



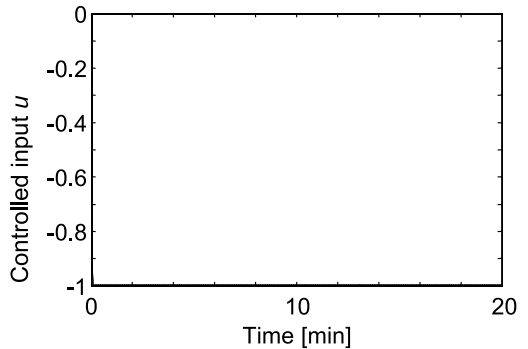
(a) 目標値応答



(b) 外乱応答



(c) 目標値応答における操作量



(d) 外乱応答における操作量

Fig. 10 ステップ応答